

# Eichtheorien

A. Wipf  
Theoretisch-Physikalisches Institut  
Friedrich-Schiller-Universität  
Max Wien Platz 1  
07743 Jena

Heraeus-Ferienkurs  
– *Symmetrie und Symmetriebrechung*–

Halle, September 2000

# Vorspann

fundamentale Wechselwirkungen: *Eichtheorien*

Elektromag. WW: Maxwellsche Theorie  
elektroschw. WW: Weinberg-Salam-Model  
starke WW: Quantenchromodynamik  
Gravitation: Einsteinsche Theorie

Minkowski RZ: Ereignis  $(ct, \vec{x}) = (x^\mu) = x$

*Poincare Transformationen:*

$$x^\mu \longrightarrow x'^\mu = \Lambda^\mu_\nu x^\nu + a^\mu, \quad dx'^\mu = \Lambda^\mu_\nu dx^\nu$$
$$\eta_{\mu\nu} dx'^\mu dx'^\nu = \eta_{\mu\nu} dx^\mu dx^\nu \implies$$
$$\Lambda^T \eta \Lambda = \eta, \quad (\eta_{\mu\nu}) = \text{diag}(1, -1, -1, -1)$$

4-Gradient

$$\partial_\mu = \left(\frac{1}{c}\partial_t, \nabla\right) \Rightarrow \partial'_\mu = (\Lambda^{-1})^\nu_\mu \partial_\nu = \Lambda_\mu^\nu \partial_\nu$$

- $dx^\mu$  kontravariant
- $\partial_\mu$  kovariant
- $A_\mu B^\mu = \eta_{\mu\nu} A^\mu B^\nu$  Lorentzinvariant.

# Symmetrien und Erhaltungssätze

## Lagrangeformalismus

L-Funktion:  $L = \int d^3x \mathcal{L}, \quad \mathcal{L} = \mathcal{L}(\phi, \partial_\mu \phi)$

Variationsprinzip ( $S$  Lorentzinvariant, reell)

$$\delta S = 0, \quad S = \int dt L = \int d^4x \mathcal{L}.$$

Bewegungsgleichungen

$$\partial_\mu \left( \frac{\partial \mathcal{L}}{\partial (\partial_\mu \phi)} \right) - \frac{\partial \mathcal{L}}{\partial \phi} = 0$$

*Beispiele* für Lagrange-Dichten

- Klein-Gordon Feld  $\mathcal{L} = (\partial_\mu \phi)^\dagger \partial^\mu \phi - m^2 \phi^\dagger \phi$   
 $\implies (\square + m^2)\phi = 0$
- Dirac-Feld  $\mathcal{L} = \bar{\psi}(i\gamma^\mu \partial_\mu - m)\psi, \quad \bar{\psi} = \psi^\dagger \gamma^0$   
 $\implies (i\cancel{\partial} - m)\psi = 0$

## Symmetrien

Lösungen  $\rightarrow$  Lösungen,  $S$  invariant

- Poincare-Invarianz:

$$\begin{aligned}\phi'(x') &= \phi(x), & \psi'(x') &= S\psi(x) \\ x' &= x + a \implies \delta\phi &= a^\mu \partial_\mu \phi\end{aligned}$$

- Globale  $U(1)$ -Eichinvarianz:

$$\begin{aligned}\phi'(x) &= g\phi(x), & \psi'(x) &= g\psi(x) \\ g &= e^{i\lambda} \sim 1 + i\lambda \implies \delta\phi &= i\lambda\phi\end{aligned}$$

## Erhaltene Noetherströme

Bewegungsgleichungen  $\Rightarrow$

$$\delta\mathcal{L} = \frac{\partial\mathcal{L}}{\partial(\partial_\mu\phi)} \partial_\mu(\delta\phi) + \frac{\partial\mathcal{L}}{\partial\phi}\delta\phi = \partial_\mu\left(\frac{\partial\mathcal{L}}{\partial(\partial_\mu\phi)}\delta\phi\right)$$

Innere Symmetrien:  $\delta\mathcal{L} = 0 \Rightarrow$

$$J^\mu = \frac{\delta\mathcal{L}}{\delta(\partial_\mu\phi)}\delta\phi, \quad \partial_\mu J^\mu = 0.$$

Erhaltene Noetherladungen:

$$\dot{Q} = 0, \quad Q = \int d^3x J^0 = \int d^3x \pi \delta\phi(x)$$

$$\begin{array}{ll} \text{Skalar} & J_\mu = i(\partial_\mu \phi^\dagger \phi - \phi^\dagger \partial_\mu \phi), \quad Q = i(\dot{\phi}^\dagger \phi - \phi^\dagger \dot{\phi}) \\ \text{Dirac} & J_\mu = \bar{\psi} \gamma_\mu \psi, \quad Q = \psi^\dagger \psi \end{array}$$

kanonisch konjugierte Impulsdichte

$$\begin{aligned} \pi &= \frac{\partial \mathcal{L}}{\partial \dot{\phi}}, \quad \{\phi(x), \pi(y)\}_{x^0=y^0} = \delta(\vec{x} - \vec{y}) \Rightarrow \\ \{\phi(x), Q\} &= \int d^3y \{\phi(x), \pi(y) \delta\phi(y)\} = \delta\phi(x), \end{aligned}$$

***Q erzeugt (t-unabh.) Eichtransformationen***

Translationen:  $S$  invariant,  $\mathcal{L}$  nicht invariant:

$$\delta \mathcal{L} = \partial_\nu \mathcal{L} = \partial_\mu \left( \frac{\delta \mathcal{L}}{\delta(\partial_\mu \phi)} \partial_\nu \phi \right) \Rightarrow \partial_\mu J^\mu = 0$$

Noetherstrom = Energie-Impuls Tensor

$$J^\mu_\nu = T^\mu_\nu, \quad T_{\mu\nu} = \frac{\partial \mathcal{L}}{\partial(\partial^\mu \phi)} \partial_\nu \phi - \eta_{\mu\nu} \mathcal{L}.$$

Noetherladung = Energie-Impuls

$$P^\mu = \int d^3x T^{0\mu}, \quad P^0 \equiv H = \int d^3x (\pi \dot{\phi} - \mathcal{L})$$

# Potentiale und minimale Kopplung

## Eichpotentiale:

*homogene Maxwellgleichungen*

$$\begin{aligned} \nabla \cdot \vec{B} = 0 \quad , \quad \nabla \times \vec{E} + \frac{1}{c} \frac{\partial \vec{B}}{\partial t} = 0 &\Rightarrow \\ \vec{B} = \nabla \times \vec{A} \quad , \quad \vec{E} = -\frac{1}{c} \frac{\partial \vec{A}}{\partial t} - \nabla \varphi. & \end{aligned}$$

Eichtransformationen mit  $\lambda = \lambda(t, \vec{x})$

$$\vec{A}' = \vec{A} - \nabla \lambda, \quad \varphi' = \varphi + \frac{1}{c} \frac{\partial \lambda}{\partial t}, \quad (\vec{E}, \vec{B}) \rightarrow (\vec{E}, \vec{B})$$

$(\varphi, \vec{A}) \sim (\varphi', \vec{A}')$  eichäquivalente Potentiale

rel. Formulierung: 4-Vektorpotential

$$\begin{aligned} (A^\mu) &= (A^0, A^1, A^2, A^3) = (\varphi, \vec{A}) \\ (A_\mu) &= (A_0, A_1, A_2, A_3) = (\varphi, -\vec{A}). \end{aligned}$$

*Eichtransformationen:*

$$A_\mu \longrightarrow A'_\mu = A_\mu - \partial_\mu \lambda$$

## Lorenzgleichung

$$\partial_\mu A^\mu = 0 \implies \square A^\mu = J^\mu, \quad (J^\mu) = (\rho, \vec{j}).$$

→ Lienard-Wiechert, ...

## Kovariante Ableitung ( $\hbar = c = 1$ )

- Mechanik:

$$E \longrightarrow E - e\varphi, \quad \vec{p} \longrightarrow \vec{\pi} = \vec{p} - e\vec{A}$$
$$H = \frac{1}{2m} \vec{p}^2 \longrightarrow H = \frac{1}{2m} (\vec{p} - e\vec{A})^2 + e\varphi$$

→ Lorentz'schen Bewegungsgleichungen für geladene Punktteilchen

- Quantenmechanik: *Korrespondenzregeln*

$$E \longrightarrow i\partial_t \quad \text{und} \quad \vec{p} \longrightarrow \frac{1}{i}\nabla$$

→ Schrödinger-, Klein-Gordon- und Diracgleichung in äusseren elm. Feldern.

- Ersetzung- und Korrespondenz ( $p^\mu = (E, \vec{p})$ )

$$p_\mu \longrightarrow p_\mu - eA_\mu \longrightarrow i(\partial_\mu + ieA_\mu) \equiv iD_\mu.$$

$$D_\mu = \partial_\mu + ieA_\mu: \text{kovariante Ableitung}$$

transformiert *kovariant*:

$$\begin{aligned} D_\mu(A') &= \partial_\mu + ieA'_\mu = \partial_\mu + ie(A_\mu - \partial_\mu\lambda) \\ &= e^{ie\lambda}(\partial_\mu + ieA_\mu)e^{-ie\lambda} \end{aligned}$$

$$D_\mu(A') = gD_\mu(A)g^{-1}, \quad g(x) = e^{ie\lambda(x)} \in U(1)$$

Kommutator

$$[D_\mu, D_\nu] = ie(\partial_\mu A_\nu - \partial_\nu A_\mu) \equiv ieF_{\mu\nu}, \quad (1)$$

*Antisymmetrische Feldstärketensor*

$$F_{\mu\nu} = \begin{pmatrix} 0 & E_1 & E_2 & E_3 \\ -E_1 & 0 & -B_3 & B_2 \\ -E_2 & B_3 & 0 & -B_1 \\ -E_3 & -B_2 & B_1 & 0 \end{pmatrix}$$

$\Rightarrow \partial_\mu F^{\mu\nu} = J^\nu$ ,  $F_{\mu\nu}$  eichinvariant:

$$\begin{aligned} ieF_{\mu\nu}(A') &= [D_\mu(A'), D_\nu(A')] \\ &= [gD_\mu(A)g^{-1}, gD_\nu(A)g^{-1}] \\ &= iegF_{\mu\nu}(A)g^{-1} = ieF_{\mu\nu}(A) \end{aligned}$$



$D_\mu\phi$  transformiert genauso wie  $\phi$ !

$$\begin{aligned} A'_\mu &= A_\mu - \partial_\mu\lambda, & \phi' &= g\phi \implies \\ (D_\mu(A)\phi)' &\equiv D_\mu(A')\phi' = g D_\mu(A)\phi, & & . \end{aligned}$$

---

*Ist  $\mathcal{L}(\phi, \partial\phi)$  invariant unter globalen Eichtransformationen,  $\phi \rightarrow g\phi$ , dann ist  $\mathcal{L}(\phi, D\phi)$  invariant unter lokalen Eichtransformationen*

*$\phi(x) \rightarrow g(x)\phi(x), A_\mu(x) \rightarrow A_\mu(x) - \partial_\mu\lambda(x).$*

- *Prinzip der minimalen Kopplung*

$$\partial_\mu \longrightarrow D_\mu = \partial_\mu + ieA_\mu$$

---

Beispiele eichinvariante für Lagrange-Dichten

- Klein-Gordon Feld  $\mathcal{L}_\phi = (D_\mu\phi)^\dagger D^\mu\phi - m^2\phi^\dagger\phi$   
 $\implies (D^\mu D_\mu + m^2)\phi = 0$
- Dirac-Feld  $\mathcal{L}_\psi = \bar{\psi}(i\gamma^\mu D_\mu - m)\psi$   
 $\implies (i\mathcal{D} - m)\psi = 0, \quad \mathcal{D} = \gamma^\mu D_\mu$

Übung:  $(\phi, A_\mu)$  bzw.  $(\psi, A_\mu)$  Lösungen der Klein-Gordon bzw. Diracgleichung. Zeige, daß

$(\phi', A'_\mu)$  bzw.  $(\psi', A'_\mu)$ ,  $\psi' = g\psi$   
 $(g(x) = \exp(ie\lambda(x)))$  ebenfalls Lösungen.

Experimente auf der Erde sollen nicht durch Phasenänderungen hinter dem Mond beeinflußt werden  $\rightarrow$  Theorie soll invariant unter raumzeit-abhängigen Phasentransformationen mit  $g(x)$  sein.

Forderung der *lokalen Eichinvarianz*  $\rightarrow$  Eichpotential (Zusammenhang, Konnektion)

Spin  $0, \frac{1}{2}$ : Eichprinzip  $\rightarrow$  eindeutige elm. WW.

### Noetherstrom:

$\lambda$  konstant:  $\delta\phi = i\lambda\phi$ ,  $\delta A = 0 \Rightarrow \delta\mathcal{L}_M = 0$

$$\partial_\mu J^\mu = 0, \quad J^\mu = ie\left\{\frac{\partial\mathcal{L}_M}{\partial(D_\mu\phi)}\phi - h.c.\right\}$$

$$\begin{aligned}\mathcal{L}_M(\phi, \partial\phi) &\rightarrow \mathcal{L}_M(\phi, D\phi) \\ J^\mu(\phi, \partial\phi) &\rightarrow J^\mu(\phi, D\phi)\end{aligned}$$

$J^\mu$  eichinvariant, erhalten

Übung 1: Zeige, daß

$$J^\mu = -\frac{\delta S_M}{\delta A_\mu} = -\frac{\partial \mathcal{L}_M}{\delta A_\mu}$$

- Durch explizite Rechnung für ein geladenes Skalarfeld, für welches

$$J^\mu = -ie\{(D_\mu\phi)^\dagger\phi - \phi^\dagger D_\mu\phi\}.$$

- Durch Ausnutzung von

$$\mathcal{L}_M(e^{i\lambda}\phi, A_\mu - i\partial_\mu\lambda) = \mathcal{L}_M(\phi, A_\mu)$$

Übung 2: Zeige, daß für ein Diracfeld

$$J^\mu = e\bar{\psi}\gamma^\mu\psi$$

**Variationsprinzip**

$$\delta S = 0 \Rightarrow \partial_\mu F^{\mu\nu} = J^\nu, \text{ gesucht } S = \int d^4x \mathcal{L},$$

$S$  lorentzinvariant, eichinvariant,  $O(A^2)$ .

$$\delta F_{\mu\nu} = \delta(\partial_\mu A_\nu - \partial_\nu A_\mu) = \partial_\mu \delta A_\nu - \partial_\nu \delta A_\mu \implies$$

$$\begin{aligned} \delta \int d^4x F_{\mu\nu} F^{\mu\nu} &= 2 \int d^4x (\delta F_{\mu\nu}) F^{\mu\nu} \\ &= -4 \int d^4x \delta A_\nu \partial_\mu F^{\mu\nu}. \end{aligned}$$

$$S_{ED} = -\frac{1}{4} \int d^4x F_{\mu\nu} F^{\mu\nu}, \quad \frac{\delta S_{ED}}{\delta A_\nu} = \partial_\mu F^{\mu\nu}$$

Invariante Lagrangedichte/Wirkung

$$\mathcal{L} = -\frac{1}{4} F_{\mu\nu} F^{\mu\nu} + \mathcal{L}_M(\phi, D\phi), \quad S = S_{ED} + S_M$$

$\delta S = 0 \implies$  Feldgleichungen

$J^\mu$  eichinvariant, erhalten

Elektrodynamik =  $U(1)$ -Eichtheorie

- $\partial_\mu \rightarrow D_\mu \implies$  Dynamik
- Geometrisierung der WW (Faserbündel)
- können konsistent 'quantisiert werden'
- gute bis erstaunliche Übereinstimmung mit Experimenten

## Bemerkungen

- $n$  geladene Felder

$$\vec{\phi} \longrightarrow U(g)\vec{\phi}, \quad U(g) = \text{diag}(e^{ieq_1\lambda}, \dots, e^{ieq_n\lambda})$$

Darstellung von  $U(1) = \{g | g = \exp ie\lambda\}$ :

$$U(1) = \mathbb{1}, \quad U(g\tilde{g}) = U(g)U(\tilde{g})$$

- Ladung  $e$ ;  $q_a \in \mathbb{Z} \Rightarrow$  irred. Darstellung
- Massenterm  $m^2 A_\mu A^\mu$  in  $\mathcal{L}$  'verboten'
- Quantisierung  $\rightarrow$  Quantenelektrodynamik
- Eichinvarianz  $\rightarrow$  Unitarität der QED

## Nicht-abelsche Eichtheorien

$U(1)$ -Symmetrie  $\rightarrow$  nicht-abelsche Symmetrie

### Symmetriegruppen und ihre Lie-Algebren

(Speziell) unitäre Gruppen:

$$U(N) = \{g \in M_N(\mathbb{C}) | g^\dagger g = \mathbb{1}\}, \quad \dim = N^2$$
$$SU(N) = \{g \in U(N) | \det g = 1\}, \quad \dim = N^2 - 1.$$

## Lie Algebra

$$\mathcal{G} = \{iX | g = e^{iX} \sim \mathbb{1} + iX\}$$

$$X_a \in \mathcal{G} \implies \alpha X_1 + \beta X_2, \quad [X_1, X_2] \in i\mathcal{G}$$

linearer Raum mit  $[\cdot, \cdot]$ , Jakobi-Identität

$$[X, [Y, Z]] + [Z, [X, Y]] + [Y, [Z, X]] = 0.$$

Speziell:

$$U(N) : \quad \mathbb{1} = e^{iX} e^{-iX^\dagger} \sim \mathbb{1} - i(X - X^\dagger)$$

$$SU(N) : \quad 1 = \det(e^{iX}) = \exp(i\text{Sp } X)$$

Damit

$$su(N) = \{X | X + X^\dagger, \text{Sp } X = 0\}$$

Basis  $\{T_a\}$ , Strukturkonstanten  $f_{ab}^c \in \mathbb{R}$ :

$$[T_a, T_b] = i \sum f_{ab}^c T_c$$

Rang  $r$ : maximaler Satz kommutierender  $T_a$ .

$\{H_1, \dots, H_r\} \subset \{T_a\} \rightarrow$  Cartan-Unteralgebra

$$\text{Rang}(SU(N)) = N - 1$$

- Die Symmetriegruppe  $SU(2)$

$$SU(2) = \left\{ g \mid g = \begin{pmatrix} a & \bar{b} \\ -\bar{b} & a \end{pmatrix}, \quad a\bar{a} + b\bar{b} = 1 \right\}$$

$$su(2) : \quad T_a = \frac{1}{2}\sigma_a, \quad \text{Sp } T_a T_b = \frac{1}{2}\delta_{ab}$$

Strukturkonstanten:

$$[T_a, T_b] = i\epsilon_{abc}T_c \implies f_{ab}^c = \epsilon_{abc}.$$

- Die Symmetriegruppe  $SU(3)$

$$T_a = \frac{1}{2}\lambda_a, \quad a = 1, \dots, 8, \quad H_1 = T_3, H_2 = T_8$$

Gell-mann Matrizen

$$\begin{aligned} \lambda_1 &= \begin{pmatrix} 0 & 1 & 0 \\ 1 & 0 & 0 \\ 0 & 0 & 0 \end{pmatrix} & \lambda_2 &= \begin{pmatrix} 0 & -i & 0 \\ i & 0 & 0 \\ 0 & 0 & 0 \end{pmatrix} & \lambda_3 &= \begin{pmatrix} 1 & 0 & 0 \\ 0 & -1 & 0 \\ 0 & 0 & 0 \end{pmatrix} \\ \lambda_4 &= \begin{pmatrix} 0 & 0 & 1 \\ 0 & 0 & 0 \\ 1 & 0 & 0 \end{pmatrix} & \lambda_5 &= \begin{pmatrix} 0 & 0 & -i \\ 0 & 0 & 0 \\ i & 0 & 0 \end{pmatrix} & \lambda_6 &= \begin{pmatrix} 0 & 0 & 0 \\ 0 & 0 & 1 \\ 0 & 1 & 0 \end{pmatrix} \\ \lambda_7 &= \begin{pmatrix} 0 & 0 & 0 \\ 0 & 0 & -i \\ 0 & i & 0 \end{pmatrix} & \lambda_8 &= \frac{1}{\sqrt{3}} \begin{pmatrix} 1 & 0 & 0 \\ 0 & 1 & 0 \\ 0 & 0 & -2 \end{pmatrix}. \end{aligned}$$

$$\text{Sp } T_a T_b = \frac{1}{2}\delta_{ab}, \quad [T_a, T_b] = if_{ab}^c T_c$$

$abc$	123	147	156	246	257	345	367	458	678
$f_{ab}^c$	1	$\frac{1}{2}$	$-\frac{1}{2}$	$\frac{1}{2}$	$\frac{1}{2}$	$\frac{1}{2}$	$-\frac{1}{2}$	$\frac{\sqrt{3}}{2}$	$\frac{\sqrt{3}}{2}$

## Darstellungen

$$\begin{aligned}
 U : G \ni g &\longrightarrow U(g) \in L(V), \text{ unitär,} \\
 U(g\tilde{g}) &= U(g)U(\tilde{g}), \quad U(e) = \mathbb{1} \\
 \Rightarrow U(g^{-1}) &= U^{-1}(g) = U^\dagger(g)
 \end{aligned}$$

hier: definierende und adjungierte Darstellung

- definierende Darstellung:

$$g \longrightarrow U(g) = g \in L(\mathbb{C}^N)$$

- komplex konjugierte Darstellung:

$$g \longrightarrow U(g) = \bar{g} \in L(\mathbb{C}^N)$$

- adjungierte Darstellung:

$$g \longrightarrow Ad(g), \quad Ad(g)X = gXg^{-1}, \quad V = \mathcal{G}.$$

*Übung:* Zeige, daß  $Ad$  eine Darstellung ist und daß  $Ad(SU(2)) = SO(3)$



Induzierte Darstellung  $U \rightarrow U_*$ :

$$U(e^{iX}) = e^{iU_*(X)}.$$

$$U_*(\alpha X + \beta Y) = \alpha U_*(X) + \beta U_*(Y)$$

$$U_*(gXg^{-1}) = U(g)U_*(X)U(g)^{-1}$$

$$U_*([X, Y]) = [U_*(X), U_*(Y)]$$

Es folgt

$$[U_*(T_a), U_*(T_b)] = if_{ab}^c U_*(T_c).$$

Eichtheorien  $\rightarrow$  Invarianten:

- fundamentale Darstellung:  $V = \mathbb{C}^N$

$$\text{Skalarprodukt : } (x, y) = \sum_1^N \bar{x}_i y_i$$

$$g \in U(N) \Rightarrow (gx, gy) = (x, y)$$

- adjungierte Darstellung:  $V = \mathcal{G}$

$$\text{Skalarprodukt : } (X, Y) = \text{Sp } XY$$

$$(Ad(g)X, Ad(g)Y) = \text{Sp } (gXYg^{-1}) = (X, Y)$$

'Treuheit' der adjungierten Darstellung:

$$Ad(g) = Ad(\tilde{g}) \Leftrightarrow gXg^{-1} = \tilde{g}X\tilde{g}^{-1} \quad \forall X$$

Zentrum von  $G$ :

$$\begin{aligned}\mathcal{Z} &= \{z \mid zg = gz \quad \forall g \in G\} \subset G \\ &\Rightarrow zXz^{-1} = X \quad \forall X \\ &\Rightarrow \tilde{g} = gz, \quad z \in \mathcal{Z}.\end{aligned}$$

$$\mathcal{Z}(SU(2)) = \{\pm \mathbb{1}\}, \quad \mathcal{Z}(SU(N)) = Z_N$$

$$\text{Ad}(G) = G/\mathcal{Z}, \quad \text{z.B.} \quad SO(3) = SU(2)/Z_2$$

Wichtig für Farbeinschluß in QCD.

## Darstellungen der Liealgebra

$\{H_i, i = 1, \dots, r\} \in$  Cartan Unteralgebra

Auf- und Absteigeoperatoren

$$[H_i, E_\alpha] = \alpha_i E_\alpha, \quad \alpha \in \mathbb{R}^r \quad \text{Wurzel}$$

$\alpha, \beta$  Wurzeln  $\rightarrow -\alpha, -\beta, \sigma_\alpha(\beta)$  Wurzeln

$$N(N-1) \text{ Wurzeln, } \frac{2(\alpha, \beta)}{\alpha^2} \in \mathbb{Z}$$

Einfache Wurzeln:

$$\alpha = \sum_{i=1}^r n_i \alpha_{(i)}, \quad n_i \geq 0 \quad \text{oder} \quad n_i \leq 0$$

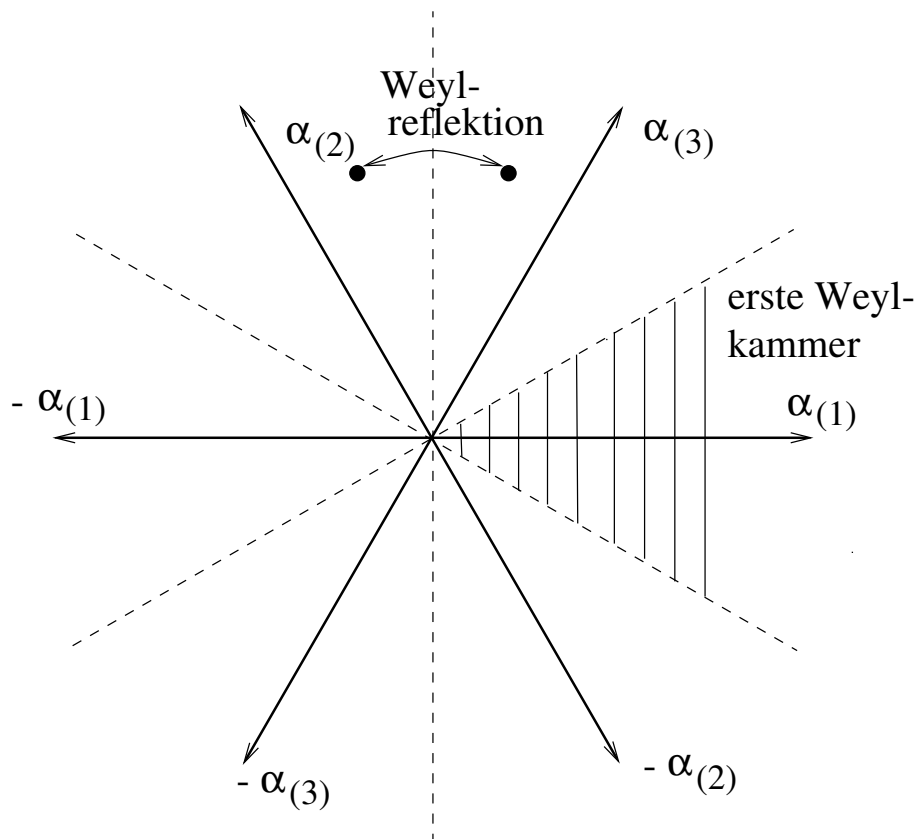
→ positive und negative Wurzeln

$$SU(3) : \quad H_1 = \lambda_3, \quad H_2 = \lambda_8$$

$$\alpha_{(1)} = (2, 0), \quad E_{\alpha_{(1)}} = T_1 + iT_2$$

$$\alpha_{(2)} = (-1, \sqrt{3}), \quad E_{\alpha_{(2)}} = T_7 + iT_7$$

$$\alpha_{(3)} = \alpha_{(1)} + \alpha_{(2)}$$



# Gewichte einer Darstellung

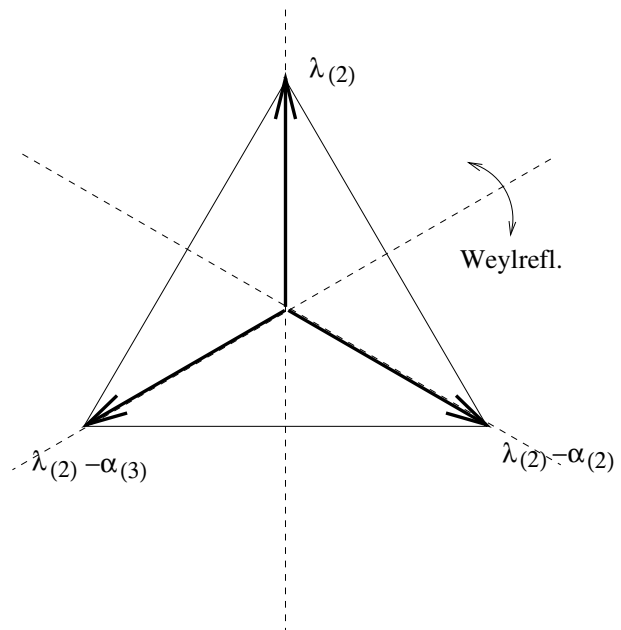
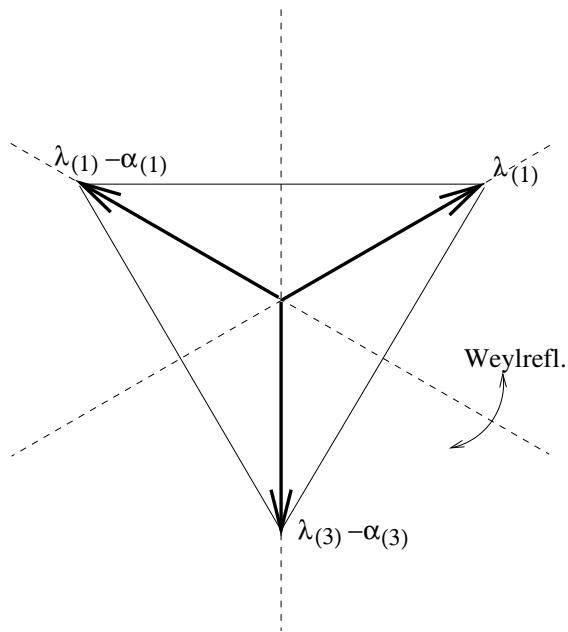
$[U_*(H_i), U_*(H_j)] = 0$  simultan diagonalisierbar

$U_*(H_i)|\mu\rangle = \mu_i|\mu\rangle, \quad |\mu\rangle \in V$  Gewichtsvektor

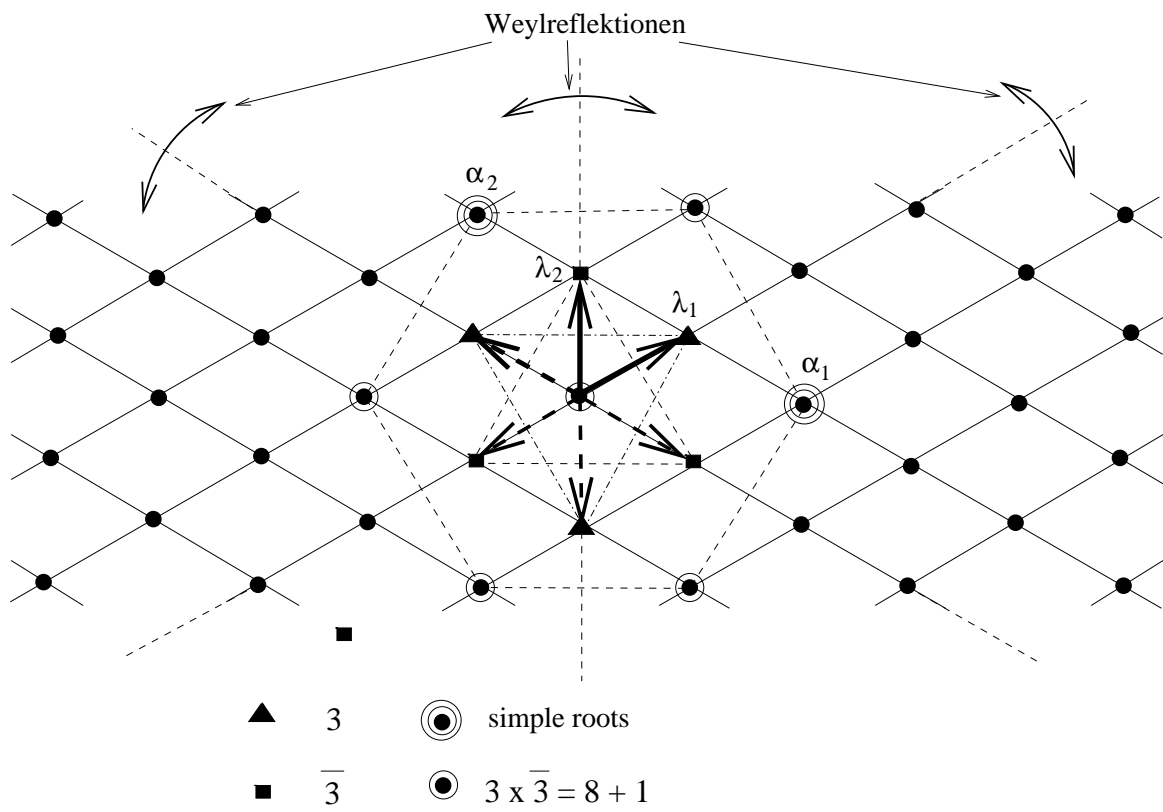
höchstes Gewicht  $\mu_{max} \in \mathbb{R}^r \Leftrightarrow$  irr. Darstellung

$$E_\alpha|\mu_{max}\rangle = 0, \quad \alpha > 0.$$

$SU(3)$	3	$g \rightarrow g$	$\mu_{max} = \frac{1}{\sqrt{3}} \begin{pmatrix} \sqrt{3} \\ 1 \end{pmatrix}$
	$\bar{3}$	$g \rightarrow \bar{g}$	$\mu_{max} = \frac{2}{\sqrt{3}} \begin{pmatrix} 0 \\ 1 \end{pmatrix}$



# Tensorprodukte von $3, \bar{3} \rightarrow$ alle Darstellungen



# Nicht-Abelsche Eichtheorien

Multipllett massiver Spin 1/2-Teilchen

$$\psi = \begin{pmatrix} \psi_1 \\ \vdots \\ \psi_N \end{pmatrix} \in V, \text{ Darstellung } \psi \longrightarrow U(g)\psi$$

$$(i\partial - m)\psi_i = 0, \quad i = 1, \dots, N$$

$$\bar{\psi} = (\bar{\psi}_1, \dots, \bar{\psi}_n), \quad \bar{\psi}_i = \psi^\dagger \gamma^0$$

Lagrangedichte der Materie

$$\begin{aligned} \mathcal{L}_M &= \bar{\psi} \begin{pmatrix} i\partial - m & & \\ & \dots & \\ & & i\partial - m \end{pmatrix} \psi \\ &= \bar{\psi} (i\mathbb{1} \otimes \partial - m)\psi \end{aligned}$$

Globale  $U(N)$ -Symmetrie ( $\delta\mathcal{L}_M = 0$ )

$$\psi \longrightarrow U(g)\psi \quad , \quad \bar{\psi} \longrightarrow \bar{\psi}U^{-1}(g)$$

## Lokale Eichinvarianz

Lokale Eichtransformationen (def. Darstellung)

$$\psi(x) \longrightarrow g(x)\psi(x)$$

$\mathcal{L}_M, S_M$  nicht mehr invariant  $\rightarrow$  minimale Kopplung

$$\partial_\mu\psi \longrightarrow D_\mu\psi = (\partial_\mu + ieA_\mu)\psi$$

Verlange

$$D_\mu(A') = gD_\mu(A)g^{-1} \Rightarrow ieA'_\mu = g(\partial_\mu + ieA_\mu)g^{-1},$$

$\Rightarrow$

$$A'_\mu = gA_\mu g^{-1} - \frac{i}{e}g\partial_\mu g^{-1}$$

$A_\mu$  ist Lie-Algebra-wertig

Andere Darstellung  $U(g)$ :

$$\begin{aligned} D_\mu\psi &= (\partial_\mu + ieU_*(A_\mu))\psi \\ D_\mu(A') &= U(g)D_\mu(A)U^{-1}(g) \end{aligned}$$

*Zusammenfassung:* Globale Symmetrie

$$\mathcal{L}_M(\psi', \partial\psi') = \mathcal{L}_M(\psi, \partial\psi), \quad \psi' = U(g)\psi, \quad \partial g = 0$$

kann 'lokal gemacht' (geeicht) werden:

$$\mathcal{L}_M(\psi', D(A')\psi') = \mathcal{L}_M(\psi, D(A)\psi)$$

$$\psi' = U(g)\psi \quad , \quad A'_\mu = gA_\mu g^{-1} + \frac{i}{e}\partial_\mu g g^{-1}$$

Verallgemeinerung von  $\mathcal{L}_{ED} = ?$

$\mathcal{L}$  Lorentz- und eichinvariant, maximal erste Ableitungen

Feldstärke:

$$\begin{aligned} F_{\mu\nu} &= \frac{1}{ie}[D_\mu, D_\nu] = \frac{1}{ie}[\partial_\mu + ieA_\mu, \partial_\nu + ieA_\nu] \\ &= \partial_\mu A_\nu - \partial_\nu A_\mu + ie[A_\mu, A_\nu] \end{aligned}$$

antisymmetrischer Tensor, transformiert kovariant



$$D_\mu(A') = gD_\mu(A)g^{-1} \Rightarrow$$

$$F_{\mu\nu}(A') = gF_{\mu\nu}(A)g^{-1}$$

$$A_\mu = A_\mu^a T_a \in \mathcal{G} \longrightarrow F_{\mu\nu} = F_{\mu\nu}^a T_a \in \mathcal{G}$$

In Komponenten:

$$F_{\mu\nu}^a T_a = \partial_\mu A_\nu^a T_a - \partial_\nu A_\mu^a T_a + ie A_\mu^b A_\nu^c [T_b, T_c]$$

$$F_{\mu\nu}^a = \partial_\mu A_\nu^a - \partial_\nu A_\mu^a - ef_{bc}^a A_\mu^b A_\nu^c$$

*Yang-Mills Lagrangedichte*

$$\mathcal{L}_{YM} = -\frac{1}{4} \text{Sp} F^{\mu\nu} F_{\mu\nu}$$

- eindeutige eichinvariante skalare Dichte!

Gekoppeltes System:

$$\mathcal{L} = \mathcal{L}_{YM} + \mathcal{L}_M(\psi, D_\mu\psi)$$

*Bemerkungen:* Eine Eichtheorie bestimmt durch

- Eichgruppe  $G$

$$QCD : \quad SU_c(3)$$

$$\text{Weinberg-Salam: } SU_L(2) \times U_Y(1).$$

- Darstellungen der  $\phi, \psi$
- universelle Koppelungskonstante  $e$
- evtl. weiter Parameter in  $\mathcal{L}_M$
- Weinberg-Salam Modell: Koppelungskonstante im Higgspotential, KMS-Matrix, Yukawa Koppelungen

### **Infinitesimale Eichtransformationen:**

$$g = e^{ieX} \sim \mathbb{1} + ieX$$

$$\phi' \sim \phi + ieX\phi, \quad A'_\mu \sim A_\mu + ie[X, A_\mu] - \partial_\mu X.$$

$$\delta\phi = ieX\phi \quad , \quad \delta F_{\mu\nu} = ie[X, F_{\mu\nu}]$$

$$\delta A_\mu = -\partial_\mu X - ie[A_\mu, X] = -D_\mu X$$

In Komponenten  $X = \lambda^a T_a$ :

$$\begin{aligned}\delta F_{\mu\nu}^a &= -ef^a{}_{bc}\lambda^b F_{\mu\nu}^c \\ \delta A_\mu^a &= -\partial_\mu\lambda^a + ef^a{}_{bc}A_\mu^b\lambda^c\end{aligned}$$

Eichströme:

$$J_a^\mu = -\frac{\partial\mathcal{L}_M}{\partial A_\mu^a}, \quad \partial_\mu J_a^\mu - ef_{abc}A_\mu^b J^{c\mu} \equiv (D_\mu J^\mu)_a$$

- Dirac-Feld (def. Darstellung)

$$\mathcal{L} = i\bar{\psi}\not{D}\psi, \quad J_a^\mu(\psi) = e\bar{\psi}\gamma^\mu T_a\psi$$

- Skalare Felder (def. Darstellung)

$$\mathcal{L} = (D_\mu\phi)^\dagger D^\mu\phi, \quad J_a^\mu(\phi) = -ie(D^\mu\phi, T_a\phi) + h.c$$

Quantisierung: Eichladungen  $[Q_a, Q_b] \neq 0$

Frage: Was ist  $J_a^\mu(\phi)$  für

$$\mathcal{L} = (D_\mu\phi)^\dagger D^\mu\phi - V(\phi), \quad V(g\phi) = V(\phi)$$

## Feldgleichungen

$A_\mu$ : Eichbosonen, adj. Darstellung

$\phi, \psi$ : Spin-0/ $\frac{1}{2}$  Teilchen, def. Darstellung

$$\begin{aligned}\mathcal{L} &= -\mathcal{L}_{YM} + \mathcal{L}_\phi + \mathcal{L}_\psi \\ \mathcal{L}_{YM} &= -\frac{1}{4}F_a^{\mu\nu}F_{a\mu\nu} \\ \mathcal{L}_\phi &= (D^\mu\phi, D_\mu\phi) - V(\phi) \\ \mathcal{L}_\psi &= \bar{\psi}(i\not{D} - m)\psi\end{aligned}$$

$V(g\phi) = V(\phi)$  Higgspotential

$\mathcal{L}$  eichinvariant

$\delta S$ : partielle Integration,  $\text{Sp}(T_a T_b) = \delta_{ab}$ :

$$\delta S_{YM} = \int \delta A_\mu^a (D_\mu F^{\mu\nu})_a$$

$$\delta S_\phi = - \int (\delta\phi, D^2\phi + \frac{\partial V}{\partial\phi^\dagger}) - \int \delta A_\mu^a J_a^\mu(\phi)$$

$$\delta S_\psi = \int \delta\bar{\psi}(i\not{D} - m)\psi + h.c. - \int \delta A_\mu^a J_a^\mu(\psi)$$

$J_a^\mu$  : Eichströme

*Übung*: Beweise diese Formeln

- *Yang-Mills-Gleichungen*

$$(D_\mu F^{\mu\nu})_a = J_a^\nu(\phi) + J_a^\nu(\psi)$$

$$(D_\mu F^{\mu\nu})_a = \partial_\mu F_a^{\mu\nu} - e f_{abc} A_\mu^b F^{c\mu\nu}$$

- *Kovariante Klein-Gordon-Gleichung*

$$D^\mu D_\mu \phi + \frac{\partial V}{\partial \phi^\dagger} = 0$$

- *Diracgleichung*

$$(i\not{D} - m)\psi = 0.$$

- $S$  bzw. EOM  $\rightarrow$  Quantisierung
- Reine Eichtheorien

$$S = -\frac{1}{4} \int \text{Sp } F_{\mu\nu} F^{\mu\nu}, \quad D_\mu F^{\mu\nu} = 0$$

intensiv untersucht: Instantonen, Gitterrechnungen  $\rightarrow$  Spektrum, Phasen

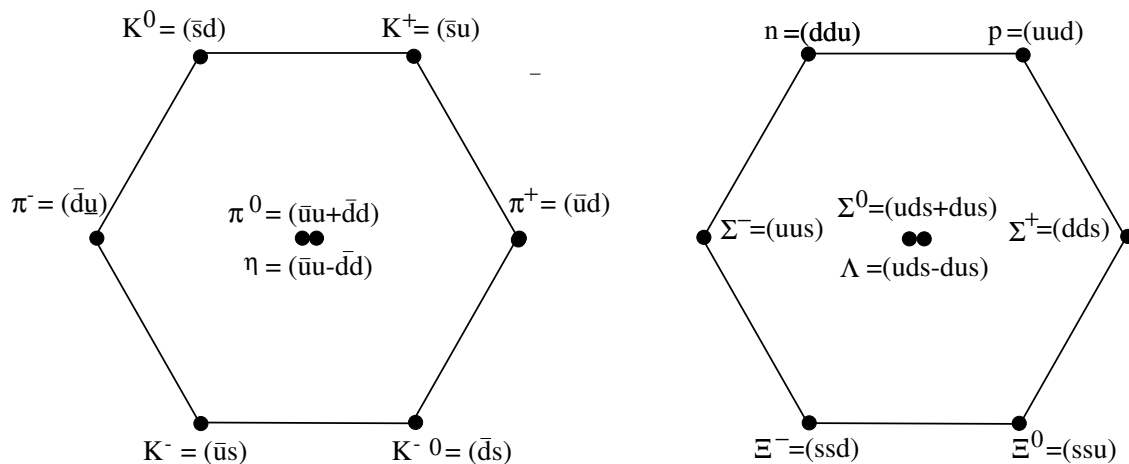
# Quantenchromodynamik

Mesonen, Baryonen  $\sim$  gebundene Quarks

6 flavours, Spin(Quarks) =  $\frac{1}{2}$

	$e$	$I$	$I_3$	$S$	$C$	$B$	MEV/c <sup>2</sup>
u	$\frac{2}{3}$	$\frac{1}{2}$	$\frac{1}{2}$	0	0	0	5(330)
d	$-\frac{1}{3}$	$\frac{1}{2}$	$-\frac{1}{2}$	0	0	0	7(336)
s	$-\frac{1}{3}$	0	0	-1	0	0	150(540)
c	$\frac{2}{3}$	0	0	0	1	0	1500(1550)
b	$-\frac{1}{3}$	0	0	0	0	-1	10000
t	$\frac{2}{3}$	0	0	0	0	0	175000

Mesonen  $\sim q\bar{q}$       Baryonen  $\sim qqq$



# Idealisiertes Drei-Flavourmodell

$u, d, s$  Quarks:

- Flavour-Universalität,  $m_u \sim m_d \sim m_s$

$$(\psi_i) = \begin{pmatrix} u \\ d \\ s \end{pmatrix}, \quad \psi \longrightarrow g\psi, \quad g \in U_f(3)$$

- Quarks transformieren mit 3 von  $U_f(3)$
- Antiquarks mit  $\bar{3}$  von  $U_f(3)$ .

Universalität  $\Rightarrow$

$$U(g)H_{str}U^{-1}(g) = H_{str} \Rightarrow [U_*(T_a), H_{str}] = 0,$$

Schur: alle Zustände einer irr. Darstellung haben dieselbe Energie (Masse)

- Mesonen:  $\bar{3} \otimes 3 = 8 \oplus 1$
- Baryonen:  $3 \otimes 3 \otimes 3 = 10 \oplus 2 \cdot 8 \oplus 1$

Nur approximative globale Symmetrie

$$m_u \sim m_d \neq m_s$$

Spin + Statistik,  $\sigma(e^-e^+ \rightarrow \text{Hadronen})$ :

$q$  haben weiteren Freiheitsgrad: Farbe

$$(u_\alpha) = \begin{pmatrix} u_r \\ u_g \\ u_b \end{pmatrix}, \quad (d_\alpha) = \begin{pmatrix} d_r \\ d_g \\ d_b \end{pmatrix}, \dots, \quad 18 \text{ Quarks}$$

Farbmischungen:  $SU_c(3)$ -Transformationen

$$\psi \longrightarrow g\psi, \quad \psi = u, d, s, \dots, \quad g \in SU_c(3).$$

$$[U_*(T_a), H_{QCD}] = 0, \quad T_a \in su(3)$$

Farbsymmetrie exakt und lokal  $\Rightarrow$  QCD ist  $SU_c(3)$ -Eichtheorie (Confinement?)

- Quarkfelder

$$\psi_{j\alpha} : \quad \alpha = \text{blau, rot, } \dots = \text{Farbe} \\ j = u, d, \dots = \text{Flavour}, \quad SU_c(3)$$

- Gluonenfelder

$$A_\mu^a, \quad a = 1, \dots, 8, \text{ masselos, Spin 1}$$



Lagrangean für Quark und Gluonenfelder:

$$\begin{aligned} \mathcal{L}_{QCD} = & -\frac{1}{4} \sum_{a=1}^8 (F_{\mu\nu}^a)^2 \\ & + \sum_{j=1}^{n_f} \sum_{\alpha,\beta=1}^3 \bar{\psi}_{j\alpha} (i\not{\partial} \delta^{\alpha\beta} + ie\gamma^\mu A_\mu^a T_a^{\alpha\beta} \\ & \qquad \qquad \qquad - \delta^{\alpha\beta} m_j) \psi_{j\beta} \end{aligned}$$

3 Flavours, chirale Grenzfall  $m_j = 0$ :

$S$  invariant unter globaler Symmetrie  
 $SU_V(3) \times SU_A(3) \times U_V(1)$

- Vektorsymmetrie:

$$\psi_j \longrightarrow (e^{iX})_{jk} \psi_k, \quad e^{iX} \in U(3) \sim SU(3) \times U(1)$$

- Axial-Vektorsymmetrie:

$$\psi_j \longrightarrow (e^{i\gamma_5 Y})_{jk} \psi_k, \quad e^{iY} \in SU(3)$$

Erhaltene Noetherströme:

$$J_a^\mu = \bar{\psi} \gamma^\mu T_a \psi \quad , \quad J_a^{5\mu} = \bar{\psi} \gamma^\mu \gamma_5 T_a \psi$$

- Hadronenspektrum: nur approximative  $SU_V(3)$ -Symmetrie  $\Rightarrow$

$SU_V(3)$  realisiert,  $SU_A(3)$  spontan gebrochen

$$Q_a|0\rangle = 0 \quad \text{aber} \quad Q_a^5|0\rangle \neq 0.$$

$\rightarrow$  8 Goldstone-Bosonen für 3 Flavours

$$\pi^\pm, \pi^0, K^\pm, K^0, \bar{K}^0, \eta$$

*Spontane Symmetriebrechung*

$$\delta_\epsilon \Theta = i[\epsilon^a Q_a^5, \Theta] = \epsilon^a \Phi_a$$

Ordnungsparameter:  $\bar{\phi}_a = \langle 0 | \Phi_a | 0 \rangle$

$$\begin{aligned} \bar{\phi}_a &= i\langle 0 | Q_a^5 \Theta - \Theta Q_a^5 | 0 \rangle \\ &= i\langle Q_a^5 0 | \Theta | 0 \rangle - i\langle 0 | \Theta Q_a^5 | 0 \rangle \end{aligned}$$

$$\bar{\phi}_a \neq 0 \implies Q_a^5 | 0 \rangle \neq 0 \quad \text{SSB}$$

Chirale Symmetriebrechung:

$$\Phi = \bar{u}u, \quad \langle 0 | \bar{u}u | 0 \rangle \sim (250 \text{ MeV})^3.$$

$\Phi$  zusammengesetzt: dynamische SSB.

**Methode der effektiven Potentiale**

## Weinberg-Salam Modell

$SU_L(2) \times U_Y(1)$ -Eichtheorie

$A_a^\mu$  :  $SU(2)$  – Eichfelder

$B^\mu$  :  $U(1)$  – Eichfeld

Rechtshändige Fermionen =  $SU(2)$ -singletts:

$$\psi_R = P_R \psi, \quad e_R, u_R, d'_R, \quad P_R = \frac{1}{2}(1 + \gamma_5)$$

Linkshändige Fermionen =  $SU(2)$ -dubletts:

$$\psi_L = \begin{pmatrix} \nu_{eL} \\ e_L \end{pmatrix}, \quad \begin{pmatrix} u_L \\ d'_L \end{pmatrix}, \quad e_L = \frac{1}{2}(1 - \gamma_5)e$$

$$\tau_3 \psi_L = \frac{1}{2} \begin{pmatrix} \psi_1 \\ \psi_2 \end{pmatrix}$$

**Gell-Mann, Nishijima:  $Q = \tau_3 + \frac{1}{2}Y$**

- Experimente:

	$\begin{pmatrix} \nu_e \\ e \end{pmatrix}$	$\begin{pmatrix} u \\ d' \end{pmatrix}$	$e_R$	$u_R$	$d_R$
Y	-1	$\frac{1}{3}$	-2	$\frac{4}{3}$	$-\frac{2}{3}$
Q	$\begin{pmatrix} 0 \\ -1 \end{pmatrix}$	$\frac{1}{3} \begin{pmatrix} 2 \\ -1 \end{pmatrix}$	-1	$\frac{2}{3}$	$-\frac{1}{3}$

Kovariante Ableitungen:

$$D_\mu \psi_R = \left( \partial_\mu + i \frac{g'}{2} y B_\mu \right) \psi_R$$

$$D_\mu \psi_L = \left( \partial_\mu + i \frac{g'}{2} y B_\mu + i \frac{g}{2} A_\mu^a \tau_a \right) \psi_L$$

$$\mathcal{L}_\psi = i \bar{\psi}_R \gamma^\mu D_\mu \psi_R + i \bar{\psi}_L \gamma^\mu D_\mu \psi_L$$

W/Z-Bosonenmassen via SSB  $\Rightarrow$  Higgsfeld in definierender  $SU(2)$ -Darstellung,  $Y = 1$

$$\phi = \frac{1}{\sqrt{2}} \begin{pmatrix} \phi_3 + i\phi_4 \\ \phi_1 + i\phi_2 \end{pmatrix}, \quad Q = \begin{pmatrix} 1 \\ 0 \end{pmatrix}$$

$$\Rightarrow D_\mu \phi = \left( \partial_\mu + i \frac{g'}{2} B_\mu + i \frac{g}{2} A_\mu^a \tau_a \right) \phi$$

- Spontane Symmetriebrechung

$$\mathcal{L}_{Higgs} = (D_\mu \phi)^\dagger D^\mu \phi - V(\phi)$$

klassisch: Minimum von  $V(\phi) \sim \langle \phi \rangle$

$$\langle \phi \rangle = \frac{1}{\sqrt{2}} \begin{pmatrix} 0 \\ v \end{pmatrix} \Rightarrow SU_L(2) \times U_Y(1) \longrightarrow U_Q(1)$$

$$V(\phi) = -c^2 \phi^\dagger \phi + \lambda (\phi^\dagger \phi)^2$$

Minimum:  $\phi^\dagger \phi = c^2 / 2\lambda = v^2 / 2$

- Massenerzeugung

$$(D_\mu)^\dagger (D^\mu \phi) \sim \partial_\mu \phi^\dagger \partial^\mu \phi + \frac{1}{2} A_\mu^A M_{AB}^2(v) A_B^\mu$$

$$A_\mu^a = (A_\mu^1, A_\mu^1, A_\mu^3, B_\mu)$$

$$M^2(v) = \frac{v^2}{2} \begin{pmatrix} g^2 & 0 & 0 & 0 \\ 0 & g^2 & 0 & 0 \\ 0 & 0 & g^2 & -gg' \\ 0 & 0 & -gg' & g'^2 \end{pmatrix}$$

Masseneigenzustände:

$$\begin{aligned} W^\pm : \quad m^2 &= \frac{1}{4}g^2v^2 \\ Z : \quad m^2 &= \frac{1}{4}v^2(g^2 + g'^2) \\ A : \quad m^2 &= 0 \quad (\text{Photon}) \end{aligned}$$

Masse der Eichbosonen  $\sim gv$

- Masse der Fermionen: Yukawa-Koppelung

$$\mathcal{L}_M \sim \gamma \bar{\psi}_L \phi \psi_R \sim (\gamma v) e_L e_R + \dots$$

Masse der Fermionen  $\sim \gamma v$

**Literatur**  $\Rightarrow$

- Quantisierung (Pfadintegral)  $\rightarrow$  Störungstheorie, Feynmangraphen
- Vergleich Theorie  $\leftrightarrow$  Experiment
- Nichtstörungstheoretische Effekte (Monopole, Instantonen; Confinement, CSB)
- Gitterformulierungen
- .....